



مدل‌سازی اثرات آسیب پیشرونده غیرایزوتروپ بر رفتار الاستوپلاستیک کامپوزیت‌های زمینه فلزی

حسین محمدی رکن آبادی^۱، محمد جواد محمودی^{۲*}

۱- دانشجوی کارشناسی ارشد، مهندسی مکانیک، دانشگاه شهید بهشتی، تهران

۲- استادیار، مهندسی مکانیک، دانشگاه شهید بهشتی، تهران

* تهران، صندوق پستی ۱۶۷۶۵۱۷۱۹

چکیده

هدف این مقاله بررسی آسیب پیشرونده در یک لایه کامپوزیتی زمینه فلزی با استفاده از کوبیل روش میکرومکانیکی و دیدگاه مکانیک آسیب پیوسته می‌باشد. روش میکرومکانیکی، روش بر پایه المان حجمی نماینده معروف به روش سلول واحد ساده شده می‌باشد که قابلیت بررسی پیشرونده بودن آسیب و رفتار پلاستیک در المان حجمی نماینده را دارد. آسیب‌مورد بررسی به صورت ایزوتروپ و غیرایزوتروپ بر اساس دیدگاه مکانیک آسیب پیوسته می‌باشد. کامپوزیت مورد بررسی کامپوزیت کربن/الومینیم می‌باشد. رفتار زمینه به صورت ایزوتروپ و الاستوپلاستیک و رفتار لایف به صورت ایزوتروپ عرضی و الاستیک و آرایش لایاف درون زمینه به صورت منظم می‌باشد. مدل رفتار الاستوپلاستیک زمینه به صورت رفتار دوخطی و روش حل، روش تقریب متواالی می‌باشد. با توجه به مطالعات پیشین در دسترس، کامپوزیت سیلیکون کارباید/آنتیلیوم چهت اعتبارسنجی و مقایسه با داده‌های تجربی مورد توجه قرار می‌گیرد. اثر درصد حجمی لایاف در روند پیش روی آسیب مورد مطالعه قرار می‌گیرد. نتایج نشان می‌دهند که با افزایش بارگذاری طولی و عرضی، متغیر آسیب در جهات لایاف و عمود بر لایاف رشد کرده و مدول یانگ طولی و عرضی مؤثر کامپوزیت کاهش می‌باید. همچنین نتایج تأیید می‌کنند که در بارگذاری طولی و درنظرگیری آسیب غیرایزوتروپ، پیش روی آسیب در جهت لایاف بیشتر از رشد آن در جهت اعمود بر لایاف می‌باشد، در حالیکه تحت بارگذاری عرضی رشد آسیب در جهات عمود بر لایاف سریع‌تر است.

اطلاعات مقاله

مقاله پژوهشی کامل

دراфт: ۱۲ ادبیه‌شт ۱۳۹۵

پذیرش: ۲۱ تیر ۱۳۹۵

ارائه در سایت: ۲۴ مرداد ۱۳۹۵

کلید واژگان:

کامپوزیت زمینه فلزی

مکانیک آسیب پیوسته

میکرومکانیک

آسیب غیرایزوتروپ

Modeling of the effects of progressive anisotropic damage on the elastoplastic behavior of metal matrix composites

Hossein Mohammadi-Roknabadi, Mohammad Javad Mahmoodi*

Faculty of Mechanical and Energy Engineering, Shahid Beheshti University, Tehran, Iran
* P.O.B. 167651719, Tehran, Iran, mj_mahmoudi@sbu.ac.ir

ARTICLE INFORMATION

Original Research Paper

Received 01 May 2016

Accepted 11 July 2016

Available Online 14 August 2016

Keywords:

Matrix metal composite
Continuum damage mechanics
Micromechanics
Anisotropic damage

ABSTRACT

The aim of this paper is investigation of progressive damage in a metal matrix composite lamina using coupling of micromechanical method and continuum damage mechanics viewpoint. The micromechanical method is a representative volume element-based method known simplified unit cell method which possesses the capability of investigating progressive damage and plastic behavior in the representative volume elements. The studied damage is isotropic and anisotropic based on continuum damage mechanics viewpoint. Composite system under investigation is Carbon/Aluminum composite. The matrix behavior is considered as isotropic and elastoplastic and the fiber behavior is transversely isotropic and elastic. The fiber arrangement within the matrix is regular. The matrix elastoplastic behavior model is included as bi-linear behavior and solution method is successive approximation method. According to available previous studies, Silicon-carbide/Titanium composite system is noted for validation and comparison with experimental data. Also, the effect of fiber volume fraction on the damage progression routine is studied. The results show that by increasing the longitudinal and transverse loadings, the damage variable grows the fiber direction and perpendicular to the fiber direction and the axial and transverse Young's modulus decrease subsequently. Also, the results prove that in longitudinal loading, considering anisotropic damage, damage progression in the fiber direction is more than its growth, perpendicular to the fiber direction. Whereas, under transverse loading, damage growth in perpendicular to the fiber direction is faster.

کاربرد زیادی در صنایعی مانند خودروسازی و نظامی دارند، بنابراین تحلیل

آن‌ها از اهمیت خاصی برخوردار بوده و توسط محققین زیادی مورد تحلیل

۱- مقدمه

کامپوزیت‌های زمینه فلزی به دلیل خواص مکانیکی و فیزیکی فوق العاده

برای ارجاع به این مقاله از عبارت ذیل استفاده نمایید:

H. Mohammadi-Roknabadi, M. J. Mahmoodi, Modeling of the effects of progressive anisotropic damage on the elastoplastic behavior of metal matrix composites, *Modares Mechanical Engineering*, Vol. 16, No. 8, pp. 65-74, 2016 (in Persian)

روش‌های عددی به اثبات رسیده است. روش میکرومکانیکی مورد استفاده در این مقاله، روش سلول واحد ساده‌شده⁷ می‌باشد [30-27] که یک مدل تحلیلی میکرومکانیکی بوده که رفتار کلی کامپوزیت را از ریزاخترهای تشکیل دهنده آن استخراج می‌نماید. اخیراً از مدل سلول واحد ساده شده جهت پیش‌بینی رفتار کامپوزیت‌های زمینه فلزی با الیاف آلیاژ حافظه‌دار و همچنین در تحلیل ویسکوالاستیک کامپوزیت‌های تقویت شده با نانوتوب‌های کربنی استفاده شده است [31,1]. با استفاده از فرضیات این مدل و ارتباط آن با دیدگاه مکانیک آسیب پیوسته می‌توان روند آسیب را در متغیر آسیب بررسی کرد.

در این مقاله یک المان حجمی نماینده که جنس زمینه‌ی آن آلومینیم با رفتار ایزوتروپ و الاستوپلاستیک و جنس الیاف در آن کریں با رفتار ایزوتروپ عرضی و الاستیک و با درصد حجمی 30% است، یک بار تحت بار طولی و بار دیگر تحت بارگذاری عرضی قرار می‌گیرد و با استفاده از روش‌های سلول واحد ساده شده و دیدگاه مکانیک آسیب پیوسته پیشروی آسیب در جهات اصلی روی زمینه کامپوزیت و همچنین اثرات ناشی از وجود آسیب روی مدول یانگ ماده مورد بررسی قرار می‌گیرد. در ادامه ابتدا دیدگاه مکانیک آسیب پیوسته بررسی می‌شود، سپس روش سلول واحد ساده شده و فرضیات آن بیان می‌گردد و در انتها چگونگی ارتباط این دو روش بیان می‌شود. در انتهای نیز نتایج بررسی می‌گردد.

2- دیدگاه مکانیک آسیب پیوسته

رابطه بین تنش موثر $\bar{\sigma}$ و تنش σ به صورت رابطه (1) می‌باشد [5]:

$$(1) \quad \bar{\sigma} = \frac{\sigma}{1-D}$$

که در آن D متغیر آسیب می‌باشد و طبق مدل لمنق به صورت رابطه

(2) تعریف می‌شود [5]:

$$(2) \quad D = \frac{A_0 - A_{\text{eff}}}{A_0}$$

صورت کسر فوق مساحت آسیب و مخرج آن مساحت کل را نشان می‌دهد. یکی از اثرات آسیب کاهش مدول یانگ است. پس از ایجاد آسیب در قطعه مدول یانگ شروع به کاهش می‌کند به طوریکه می‌توان آسیب را از رابطه (3) به دست آورد [5]:

$$(3) \quad D = 1 - \frac{E_D}{E}$$

که در آن E_D مدول یانگ پس از آسیب و E مدول یانگ اولیه ماده است. در مراجع [5,4] رابطه (4) زیر برای بررسی متغیر آسیب پیشنهاد شده است:

$$(4) \quad dD = d\varepsilon^p \left(-\frac{Y}{S} \right)^s$$

که در آن s و S پارامترهای ماده، ε^p کرنش پلاستیک معادل⁸ و Y مطابق رابطه (5) تعریف می‌شود [5]:

$$(5) \quad Y = -\frac{\sigma_{\text{eq}}^2}{2E(1-D)^2} \left[\frac{2}{3}(1+\nu) + 3(1-2\nu) \left(\frac{\sigma_H}{\sigma_{\text{eq}}} \right)^2 \right]$$

که در آن σ_H میانگین تنش‌های اصلی، σ_{eq} تنش معادل وان میسز، ν ضریب پواسون و E مدول یانگ ماده می‌باشد. همچنین برای آسیب غیرایزوتروپ رابطه (6) پیشنهاد می‌شود [5]:

$$(6) \quad dD = |d\varepsilon^p| \left(-\frac{Y}{S} \right)^s$$

⁷ Simplified Unit Cell

⁸ Equivalent plastic strain

قرار گرفته‌اند [1]. برای استفاده قابل اطمینان از کامپوزیت‌های زمینه فلزی تحلیل دقیق آن‌ها در شرایط و بارگذاری‌های مختلف ضروری است [2]. بنابراین باید آسیب ابتدایی و نهایی در این نوع کامپوزیت‌ها تحت بارگذاری‌های مختلف مورد بررسی قرار گیرد [2]. در پژوهش‌های برخواص گرفته روی کامپوزیت‌های زمینه فلزی، ابتدا اثر آسیب‌های زمینه بر خواص مکانیکی چندلایه مورد بررسی قرار می‌گیرد [3]. چرا که یکی از مهم‌ترین تغییرات در کامپوزیت‌ها آسیب‌های روی زمینه هستند. این آسیب‌ها یک عامل مهم رفتار غیرخطی در کامپوزیت با اجزای الاستیک می‌باشند [3]. یکی از روش‌هایی که در سال 1958 میلادی مطرح شد و اخیراً مورد توجه بسیاری از محققین قرار گرفته است دیدگاه مکانیک آسیب پیوسته¹ می‌باشد [3-6]. از این دیدگاه برای حل مسائل مختلف خستگی [9] و همچنین الاستیک با اثرات حرارتی [8,7] حل مسائل مختلف خستگی [9] و همچنین شکست مواد ترد استفاده شده است [11,10]. در ادامه ویاجیس² و همکارانش روابطی برای آسیب در کامپوزیت‌ها و فلزات نرم به دست آورده‌اند [13,12]. همچنین مزایای مدل میکرومکانیک بر مدل پیوسته برای کامپوزیت‌ها نیز توسط ویاجیس و همکارانش مورد بررسی قرار گرفته است [15,14]. در بسیاری از فرمول‌نویسی‌های روش مکانیک آسیب پیوسته برای توضیح آسیب از تانسور مرتبه 4 استفاده شده است که تفسیر آن سخت و دشوار است، در حالیکه استفاده از متغیرهای آسیب اسکالار ساده‌تر می‌باشد [16,5]. همچنین کاربرد مکانیک آسیب پیوسته روی مواد کامپوزیتی نیز مورد بررسی قرار گرفته است [17]. در این روش فاکتوری به نام متغیر آسیب تعریف می‌شود که در روابط بنیادی ماده وارد شده و با افزایش کرنش پلاستیک معادل، رشد می‌کند [4]. یکی از امتیازات ویژه این روش تاثیر آسیب بر استحکام ماده هنگام رشد آسیب است، به گونه‌ای که در مدل سازی‌ها، هنگامی که آسیب در نقطه‌ای از قطعه ایجاد شد، پارامترهای استحکامی مانند مدول یانگ کمتر از حالت اولیه می‌شود [5,4].

مدل‌های میکرومکانیکی عددی [19,18] و تحلیلی [21,20] متعددی جهت پیش‌بینی پاسخ کامپوزیت‌های دو فازی تحت شرایط بارگذاری مختلف حرارتی و مکانیکی ارائه شده است. مدل‌های استوانه‌ای و سلول واحد³ دو گروه عمده از مدل‌های میکرومکانیکی تحلیلی با فرضیات ساده شونده‌ی هندسه کامپوزیت‌ها هستند. در مدل‌های استوانه‌ای، هندسه‌ی المان حجمی نماینده کامپوزیت شامل الیافی با مقطع دایروی احاطه شده با زمینه‌ای با مقطع دایروی می‌باشد [22]. در مدل‌های سلول واحد، سطح مقطع المان حجمی نماینده⁴ کامپوزیت شامل الیاف مستطیلی احاطه شده با مواد زمینه به صورت مستطیلی می‌باشد. روش سلولی⁵ [24,23] و روش سلولی تعمیمی⁶ [26,25] جز معروف ترین مدل‌های سلول واحد هستند. یکی مدل میکرومکانیکی تحلیلی بر پایه‌ی روش سلول واحد نیز در [27] به منظور مطالعه رفتار کامپوزیت‌های زمینه فلزی ارائه شده است. روابط اولیه این مدل میکرومکانیکی، المان حجمی نماینده ماده مرکب شامل 4 سلول بود که یکی از آن‌ها شامل الیاف و بقیه را مواد زمینه تشکیل می‌داد [27]. قابلیت کاربرد این مدل در پیش‌بینی رفتار مواد مرکب دو فازی تحت شرایط مختلف بارگذاری با توجه به اعتبارسنجی‌های انجام گرفته با داده‌های تجربی و

¹ Continuum Damage Mechanics

² Voyiadjis

³ Unit Cell Model

⁴ Representative Volume Element

⁵ Method of Cell

⁶ Generalized Method of Cell

3-2- معادلات حاکم در روش سلول واحد ساده شده

برای انجام محاسبات مقادیر اولاً تنش و کرنش هر سلول ثابت فرض می شود. همچنین فرض می شود که تنش های نرمال بر المان نماینده هیچ گونه تنش برشی داخل سلول ها ایجاد نمی کند [30-27]. S_z , S_y و S_x به ترتیب تنش های جمعی (تش ماکرو) روی المان نماینده در جهات x , y , z می باشند. این مقادیر در واقع همان تنش های اعمالی بر کل کامپوزیت هستند. از معادله تعادل تنش های داخلی در سلول ها و تنش های خارجی اعمالی، در مرز المان نماینده رابطه (7) بدست می آید [30-27]:

$$\begin{aligned} \sum_{i=1}^c \sigma_y^{ij} a_i &= S_y L_c \\ \sum_{j=1}^r \sigma_x^{1j} b_j &= S_x L_r \\ \sum_{j=1}^r \sum_{i=1}^c b_j a_i \sigma_z^{ij} &= S_z L_r L_c \end{aligned} \quad (7)$$

که در آن برای مثال σ_y^{ij} تنش داخلی در راستای x برای سلول ij می باشد.

رابطه (8) از تعادل تنش ها در سطوح مشترک هر دو سلول مجاور بدست می آید [31,30]:

$$\begin{aligned} \sigma_x^{1j} &= \sigma_x^{ij} \quad (i > 1) \\ \sigma_y^{i1} &= \sigma_y^{ij} \quad (j > 1) \end{aligned} \quad (8)$$

با فرض اتصال کامل لایه های میانی، تغییر مکان المان نماینده در یک جهت برابر مجموع تغییر مکان سلول های یک ردیف در همان جهت است.

پس طبق رابطه (9) می توان نوشت [33-31]:

$$\begin{aligned} \sum_{i=1}^c a_i \varepsilon_x^{i1} &= \sum_{i=1}^c a_i \varepsilon_x^{ij} = L_c \bar{\varepsilon}_x \quad (j > 1) \\ \sum_{j=1}^r b_j \varepsilon_y^{1j} &= \sum_{j=1}^r b_j \varepsilon_y^{ij} = L_r \bar{\varepsilon}_y \quad (i > 1) \\ \varepsilon_z^{ij} &= \bar{\varepsilon}_z \quad (i > 1, j > 1) \end{aligned} \quad (9)$$

برای سلول هایی که زمینه هستند باید اثرات پلاستیسیته نیز در نظر گرفته شود. رابطه تنش - کرنش ترمومالاستیک به صورت رابطه (9) بیان می شود [34]:

$$\varepsilon^{ij} = S^i - r^{ij} + \alpha^{ij} \Delta T + \varepsilon_p^{ij} + \varepsilon_m^{ij} \quad (10)$$

در آن S^{ij} ماتریس نرمی، r^{ij} ضرب انبساط حرارتی، ΔT تغییرات دما، ε_p^{ij} بردار کرنش پلاستیک و $d\varepsilon_m^{ij}$ بردار نمو کرنش پلاستیک می باشند. از رابطه (10) رابطه (11) برای سلول های ایزوتروپ زمینه به دست می آید [1]:

$$\begin{aligned} \varepsilon_x^{ij} &= \frac{1}{E_{ij}} [\sigma_x^{ij} - v_{ij} (\sigma_y^{ij} + \sigma_z^{ij}) + \alpha^{ij} \Delta T + \varepsilon_x^{p(ij)} + d\varepsilon_x^{m(ij)}] \\ \varepsilon_y^{ij} &= \frac{1}{E_{ij}} [\sigma_y^{ij} - v_{ij} (\sigma_x^{ij} + \sigma_z^{ij}) + \alpha^{ij} \Delta T + \varepsilon_y^{p(ij)} + d\varepsilon_y^{m(ij)}] \\ \varepsilon_z^{ij} &= \frac{1}{E_{ij}} [\sigma_z^{ij} - v_{ij} (\sigma_y^{ij} + \sigma_x^{ij}) + \alpha^{ij} \Delta T + \varepsilon_z^{p(ij)} + d\varepsilon_z^{m(ij)}] \end{aligned} \quad (11)$$

با ترکیب روابط (8) و (9) و (11) رابطه (12) حاصل می گردد:

$$\sum_{i=1}^c \left\{ \frac{a_i}{E_{i1}} \sigma_x^{11} - \frac{a_i}{E_{ij}} \sigma_x^{1j} - \frac{a_i}{E_{i1}} v_{i1} \sigma_y^{i1} + \frac{a_i}{E_{ij}} v_{ij} \sigma_y^{ij} - \frac{a_i}{E_{i1}} v_{i1} \sigma_z^{i1} + \frac{a_i}{E_{ij}} v_{ij} \sigma_z^{ij} \right\} + a_i (\varepsilon_x^{p(i1)} + d\varepsilon_x^{m(i1)}) - a_i (\varepsilon_x^{p(ij)} + d\varepsilon_x^{m(ij)}) = a_i (\alpha^{ij} - \alpha^{i1}) \Delta T \quad (j \neq 1)$$

که $|d\varepsilon^p|$ مقادیر ویژه $d\varepsilon^p$ می باشد.

3- بررسی مدل میکرومکانیک

3-1- فرضیات روش سلول واحد ساده شده

جهت مدلسازی صحیح برای انتقال تنش ماکروسکوپیک از یک لایه به یک لایه دیگر در سازه های کامپوزیتی لازم است روشی به کار گرفته شود که مکانیزم های آسیب هر یک از لایه های چند لایه که ناشی از بارگذاری عمومی درون صفحه ای یا در جهت ضخامت است را به درستی پیش بینی کند. بنابراین رفتار هر لایه باید به صورت مجزا بررسی شود. روش های حل بر پایه سلول واحد، قابلیت پیش بینی افت خواص و تعریف پارامتر های آسیب ناشی از زوال خواص مکانیکی را در کامپوزیت ها داراست. این روش، یک مدل بر پایه المان حجمی نماینده می باشد. المان حجمی نماینده شامل کوچکترین بخش تکرار شونده و در عین حال جامع اطلاعات می باشد. علت تعریف المان نماینده برای کاهش محاسبات ریاضی است [30-27]. در این مدل مطابق شکل 1، المان حجمی نماینده مکعب مستطیلی به عمق واحد در نظر گرفته شده که طول آن در راستای x برابر L_c و عرض آن در راستای y برابر L_r می باشد. تعداد تقسیمات در راستای x برابر با a و طول این تقسیمات برابر a می باشد. همچنین تعداد تقسیمات در راستای y برابر با b و طول این تقسیمات برابر b می باشد. در این مدل الیاف و زمینه به طور کاملا متصل به هم فرض می شوند و تغییرات جابجایی در داخل سلول های المان نماینده خطی فرض می شود.

در این مقاله کلیه تقسیمات در راستای x دارای مقدار برابر a و کلیه تقسیمات در راستای y برابر b می باشد. نحوه تقسیم بندی سلول ها و همچنین نحوه قرار گیری الیاف ها، متناظر توزیع مربعی الیاف در زمینه با توجه به درصد حجمی الیاف در شکل 2 نشان داده شده است.

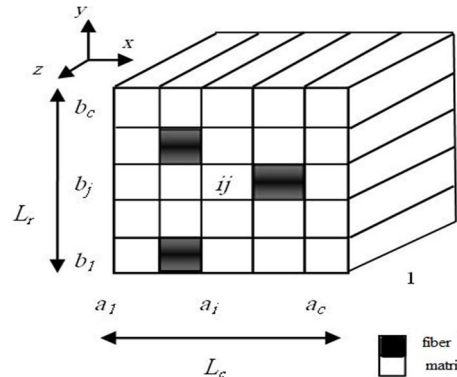


Fig. 1 Geometry of the cells in the representative volume element

شکل 1 هندسه سلول ها در المان حجمی نماینده

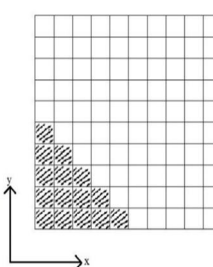


Fig. 2 Fibers arrangement within the matrix corresponding to square regular distribution in the representative volume element

شکل 2 آرایش متناظر توزیع منظم مربعی الیاف در زمینه در المان نماینده

جدول 1 خواص اجزای سازنده کامپوزیت های کربن/آلومینیم [4] و سیلیکون کارباید/تیتانیوم [37]

تیتانیوم (زمینه) (ایاف)	سیلیکون کارباید	آلومینیم (زمینه)	کربن (ایاف)	ماده
107	409	72.4	388.2	(GPa)
107	409	72.4	7.6	(GPa)
0.3	0.2	0.33	0.44	نسبت پواسون طولی
0.3	0.2	0.33	0.45	نسبت پواسون عرضی
0.5	-	11.7	-	ضریب سخت شوندگی (GPa)
910	-	286.7	-	تنش تسليم (MPa)

مثال، مدول یانگ طولی بدون اثر فاز میانی در مقایسه با مدول یانگ طولی با فاز میانی با ضخامت موثر 0.1 حدود 8% بیشتر است در حالی که برای مدول یانگ عرضی حدود 24% بیشتر است [33]. همچنین هرچه مدول یانگ فاز میانی بیشتر در نظر گرفته شود، پاسخها به حالتی که فاز میانی در نظر گرفته نمی شود، نزدیکتر است [33]. در مقاله حاضر، سیستم کامپوزیت مورد نظر به صورت دو ماده الیاف و زمینه کnar هم با اتصال قوی در نظر گرفته می شود و فاز میانی در نظر گرفته نمی شود [40].

5- توکیب روش میکرومکانیک و دیدگاه مکانیک آسیب پیوسته

در قسمت 3 شرایط مرزی وفرضیات برای حل مسئله مورد نظر بیان شد. در این قسمت به نحوه ارتباط بین روش سلول واحد ساده شده و دیدگاه مکانیک آسیب پیوسته با وجود آسیب پرداخته می شود. رابطه بین تنش موثر $\bar{\sigma}$ و تنش σ در حالت کلی به صورت رابطه (15) می باشد [4]:

$$\begin{cases} \bar{\sigma}_{11} \\ \bar{\sigma}_{22} \\ \bar{\sigma}_{33} \end{cases} = \frac{1}{1-D} \begin{cases} \sigma_{11} \\ \sigma_{22} \\ \sigma_{33} \end{cases} \quad (15)$$

و در نهایت رابطه تنش-کرنش به صورت رابطه (16) بدست می آید [4]:

$$\begin{cases} \sigma_{11} \\ \sigma_{22} \\ \sigma_{33} \end{cases} = \frac{1}{1-D} \begin{cases} \lambda + 2\mu & \lambda & \lambda \\ \lambda & \lambda + 2\mu & \lambda \\ \lambda & \lambda & \lambda + 2\mu \end{cases} \begin{cases} \varepsilon_{11}^e \\ \varepsilon_{22}^e \\ \varepsilon_{33}^e \end{cases} \quad (16)$$

که در آن λ و μ ثوابت لامه هستند. حال با معکوس کردن رابطه (16) و به دست آوردن کرنش ها و جایگذاری آن ها در معادله (9) و همچنین استفاده از معادلات (4) و (7) و (8) و (12) می توان مجہولات مورد نظر شامل تنش ها و متغیرهای آسیب را به دست آورد. در حالتی که آسیب به صورت غیرایزوتrop باشد معادلات به صورت رابطه (17) اصلاح می شوند [4]:

$$\begin{cases} \bar{\sigma}_{11} \\ \bar{\sigma}_{22} \\ \bar{\sigma}_{33} \end{cases} = \begin{cases} K_{11} & K_{12} & K_{13} \\ K_{21} & K_{22} & K_{23} \\ K_{31} & K_{32} & K_{33} \end{cases} \begin{cases} \sigma_{11} \\ \sigma_{22} \\ \sigma_{33} \end{cases} \quad (17)$$

که در آن ضرایب ماتریس متقابن $[K]$ به صورت رابطه (18) تعریف می شوند [4]:

$$\begin{aligned} K_{11} &= \frac{4}{9(1-D_1)} + \frac{1}{9(1-D_2)} + \frac{1}{9(1-D_3)} + \frac{1}{3(1-\eta D_H)} \\ K_{12} &= -\frac{2}{9(1-D_1)} - \frac{2}{9(1-D_2)} + \frac{1}{9(1-D_3)} + \frac{1}{3(1-\eta D_H)} \\ K_{13} &= -\frac{2}{9(1-D_1)} + \frac{1}{9(1-D_2)} - \frac{2}{9(1-D_3)} + \frac{1}{3(1-\eta D_H)} \\ K_{22} &= \frac{1}{9(1-D_1)} + \frac{4}{9(1-D_2)} + \frac{1}{9(1-D_3)} + \frac{1}{3(1-\eta D_H)} \\ K_{23} &= \frac{1}{9(1-D_1)} - \frac{2}{9(1-D_2)} - \frac{2}{9(1-D_3)} + \frac{1}{3(1-\eta D_H)} \end{aligned}$$

$$\begin{aligned} \sum_{j=1}^r \left\{ -\frac{b_j}{E_{1j}} v_{1j} \sigma_x^{ij} + \frac{b_j}{E_{ij}} v_{ij} \sigma_x^{ij} + \frac{b_j}{E_{1j}} \sigma_y^{11} - \frac{b_j}{E_{ij}} \sigma_y^{ij} - \frac{b_j}{E_{1j}} v_{1j} \sigma_z^{ij} + \frac{b_j}{E_{ij}} v_{ij} \sigma_z^{ij} \right\} \\ + b_j (\varepsilon_y^{p(1j)} + d\varepsilon_y^{p(1j)}) - b_j (\varepsilon_y^{p(ij)} + d\varepsilon_y^{p(ij)}) = b_j (\alpha^{ij} - \alpha^{1j}) \Delta T \quad (i \neq 1) \\ \sum_{j=1}^r \left\{ -\frac{1}{E_{11}} \sigma_x^{11} + \frac{v_{ij}}{E_{ij}} \sigma_x^{ij} - \frac{1}{E_{11}} \sigma_y^{11} + \frac{v_{ij}}{E_{ij}} \sigma_y^{ij} + \frac{1}{E_{11}} \sigma_z^{11} + \frac{1}{E_{ij}} \sigma_z^{ij} \right\} \\ + (\varepsilon_z^{p(11)} + d\varepsilon_z^{p(11)}) - (\varepsilon_z^{p(ij)} + d\varepsilon_z^{p(ij)}) = (\alpha^{ij} - \alpha^{11}) \Delta T \quad (i \neq 1, j \neq 1) \end{aligned} \quad (12)$$

بنابراین دستگاه رابطه (13) با $rc+r+c$ معادله و با همین تعداد مجہولات بدست می آید:

$$[A]_{m \times m} \{\sigma\}_{m \times 1} + [B]_{m \times n} \{\varepsilon^p\}_{n \times 1} + d\varepsilon^p = \{F\}_{m \times 1} \quad (13)$$

که $m = r \times c$ و $n = 3$ (عداد سلول های الیاف $- rc$) باشد.

پلاستیسیته استفاده شده در این مقاله وابسته به زمان نیست و دارای سخت شوندگی¹ خطی است. بمنظور حل دستگاه معادلات تکرارشونده و اصلاح شونده با توجه به پارامتر آسیب، روش تقریب متوالی² [35] به همراه معیار تسلیم فن-مایز³ استفاده می شود. با توجه به اینکه ماده به کار رفته شده برای الیاف در این مقاله کربن با خواص ایزوتrop عرضی⁴ می باشد، معادلات مربوط به سلول هایی که الیاف می باشند به صورت رابطه (14) می باشد [36]:

$$\begin{aligned} \varepsilon_x &= \frac{1}{E_T} \sigma_x - v_T \frac{\sigma_y}{E_T} - v_L \frac{\sigma_z}{E_L} \\ \varepsilon_y &= \frac{1}{E_T} \sigma_y - v_T \frac{\sigma_x}{E_T} - v_L \frac{\sigma_z}{E_L} \\ \varepsilon_z &= \frac{1}{E_L} \sigma_z - v_L \frac{\sigma_x}{E_L} - v_L \frac{\sigma_y}{E_L} \\ E_x &= E_y = E_T \cdot E_z = E_L; v_{zy} = v_{zx} = v_L \cdot v_{xy} = v_T \end{aligned} \quad (14)$$

که اندیس L نمایانگر خواص طولی و اندیس T نشان دهنده خواص عرضی می باشد. به طور مثال E_L مدول یانگ طولی و E_T مدول یانگ عرضی می باشد.

4- نوع کامپوزیت

سیستم کامپوزیت اصلی مورد مطالعه، کامپوزیت کربن/آلومینیم با درصد حجمی الیاف 30% می باشد. همچنین برای مقایسه نتایج مدل ارائه شده با نتایج آزمایشگاهی با توجه به در دسترس بودن نتایج آزمایشگاهی در مرجع [37]، کامپوزیت سیلیکون کارباید/تیتانیوم با درصد حجمی الیاف 33%، مورد توجه قرار می گیرد. خواص اجزای سازنده این کامپوزیت ها در جدول 1 نشان داده شده است.

در این میان، شایان ذکر است که با توجه به فرایند ساخت کامپوزیت های زمینه فلزی الیافی که در دما و فشار بلا صورت می گیرد، لایه نازکی بین الیاف و زمینه معروف به فاز میانی⁵ بوجود می آید [40-38]. بطور عملده این فازهای میانی به دو دلیل به وجود می آیند [40]. یکی به دلیل واکنش و نفوذ شیمیایی بین فاز تقویت و زمینه و دوم، به علت استفاده از روکش های محافظه بر فاز تقویت در حين فرآیند تولید جهت اطمینان از اتصال مناسب بین فاز تقویت و زمینه. در [39,38,33] نشان داده شده است که شدت اثر فاز میانی بر مدول یانگ کامپوزیت از زاویه بارگذاری 0 درجه (بارگذاری طولی) تا 90 درجه (بارگذاری عرضی) افزایش می باشد. به طور

¹ Hardening

² Successive approximation

³ Von-Mises yield criterion

⁴ Transverse isotropic

⁵ Interphase

شکل 4 نمودار تنش-کرنش برای حالتی که تمامی سلول‌ها آلمینیم و آسیب به صورت غیر ایزوتrop و ایزوتrop می‌باشد را نشان می‌دهد. همچنین مقایسه‌ای با روش سلولی و حالتی که آسیب وجود ندارد انجام می‌شود. با دقت در شکل 5 مشخص می‌گردد که برای هر دو حالت آسیب ایزوتrop و غیرایزوتrop نمودار تنش-کرنش یکسان بوده و نسبت به حالتی که آسیب وجود ندارد، مقدار کاهش یافته است. این مقدار کاهش یافته در نقطعه پلستیک نمودار تنش-کرنش مشخص‌تر است. مقدار تنش در نقطه پایانی نمودار در حالتی که آسیب وجود ندارد برابر است با $\sigma_z = 414 \text{ MPa}$ و در وجود آسیب ایزوتrop و غیر ایزوتrop این مقدار به $\sigma_z = 330.9 \text{ MPa}$ کاهش می‌یابد. بنابراین مقدار کاهش تنش در وجود آسیب تقریباً مقدار قابل توجه است.

شكل 5 نمودار تنش کرنش کامپوزیت سیلیکون کرباید/تیتانیوم و

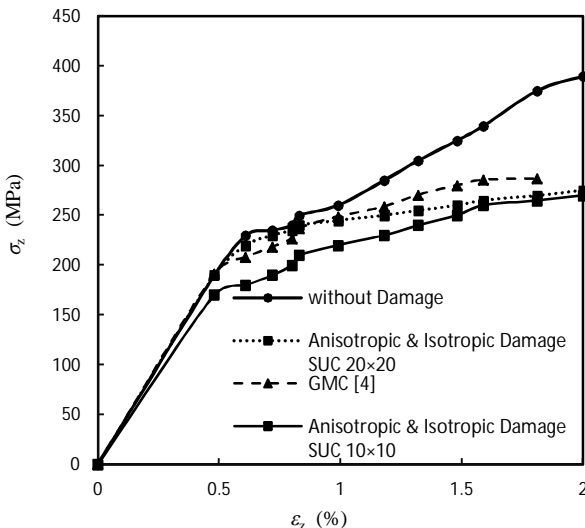


Fig. 4 Aluminum stress-strain diagram under uniaxial loading with isotropic and anisotropic damage and also without damage

شکل 4 نمودار تش-کرنش آلومینیم تحت بار تک جهته در حالت آسیب ایزوتربوپ و غیرایزوتربوپ و همچنین در نبود آسیب

$$K_{33} = \frac{1}{9(1-D_1)} + \frac{1}{9(1-D_2)} + \frac{4}{9(1-D_3)} + \frac{1}{3(1-\eta D_H)}$$

$$D_H = \frac{D_1 + D_2 + D_3}{3}$$

η = خاصیت ماده (18)

و در نهایت رابطه تنش-کرنش به صورت رابطه (19) به دست می آید [4]:

$$(x_{11}) = (J_{11} \quad J_{12} \quad J_{13})(\lambda + 2\mu \quad \lambda \quad \lambda) \quad (E^e_1)$$

$$\begin{Bmatrix} \sigma_{11} \\ \sigma_{22} \\ \sigma_{33} \end{Bmatrix} = \begin{Bmatrix} L_{11} & L_{12} & L_{13} \\ L_{21} & L_{22} & L_{23} \\ L_{31} & L_{32} & L_{33} \end{Bmatrix} \begin{Bmatrix} \lambda + 2\mu & \lambda & \lambda \\ \lambda & \lambda + 2\mu & \lambda \\ \lambda & \lambda & \lambda + 2\mu \end{Bmatrix} \begin{Bmatrix} \varepsilon_{11}^e \\ \varepsilon_{22}^e \\ \varepsilon_{33}^e \end{Bmatrix} \quad (19)$$

۲۰

$$[L] = [K]^{-1} \quad (20)$$

باید توجه داشت برای آسیب غیرایزوتروپ، روند قبلی حل استفاده می شود ولی به جای رابطه (4) از رابطه (6) استفاده می شود.

6- بحث و نتایج

ابتدا برای اثبات درستی روند حل نموداری برای حساسیت به مشبندی ترسیم شده است. در شکل 3 برای حالت‌های 3×3 , 10×10 , 20×20 , 30×30 و 50×50 و در حالتی که 30% سلول‌ها الیاف می‌باشند، مدول یانگ طولی استخراج شده است. با دقت در شکل 3 نتیجه‌گیری می‌شود که حل با تعداد سلول 20×20 کافی و منطقی می‌باشد. چرا که پاسخ در این حالت به پاسخ در تعداد سلول‌های بالاتر تزدیک و همچنین سرعت همگرایی مستله نیز مناسب است. همچنین شکل‌های 4 و 9 که در ادامه متن ارائه می‌گردند، و مقایسه‌ی صورت گرفته با روش سلولی نیز ثابت می‌کنند با در نظر گیری اثرات پلاستیسیته و همچنین روند پیشروی آسیب، کماکان تعداد سلول 20×20 کافی است. در این مقاله یک المان حجمی نماینده حاوی 20×20 سلول با درصد حجمی الیاف 30% تحت بار مکانیکی در جهت الیاف (جهت طولی) و سپس در جهت عمود بر الیاف (جهت عرضی) در دمای 21°C قرار گرفته و نمودارها برای حالتی که تمام سلول‌ها زمینه (آلومینیم) یا ترکیب آلومینیم و کربن (کامپوزیت) می‌باشد، استخراج شده‌اند. همچنین در حالتی که آسیب روی زمینه وجود دارد تغییرات مدول یانگ بررسی می‌شود و نتایج با روش سلولی، مقایسه می‌شود.

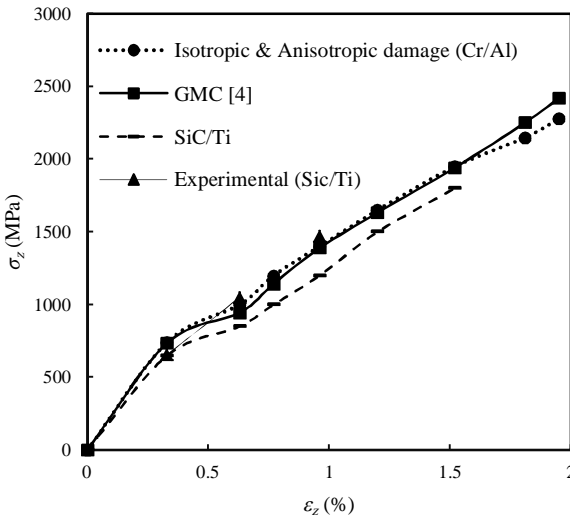


Fig. 5 Carbon/aluminum and silicon-carbide/titanium stress-strain diagram under axial loading

شکل 5 نمودار تنش-کرنش کربن/آلومینیم و سیلیکون کارباید/تیتانیوم تحت بار طولی

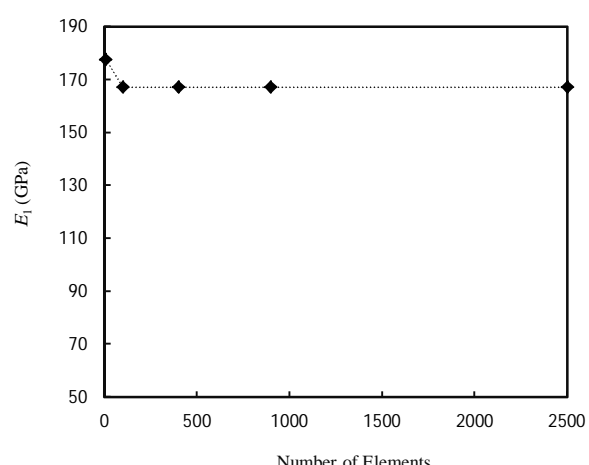


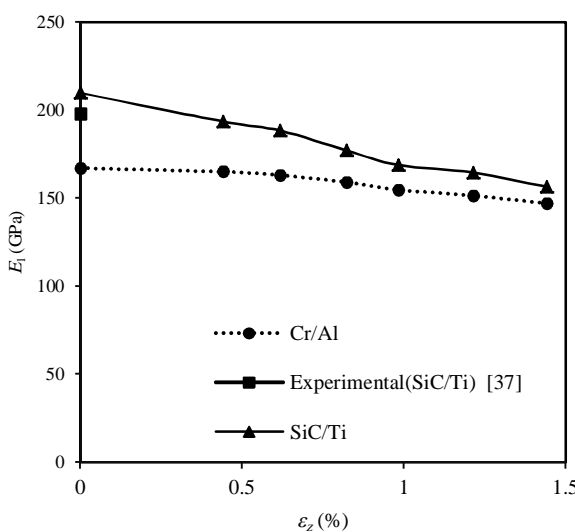
Fig. 3 Variations of the composite axial Young's modulus versus number of cells of the representative volume element

شکل 3 تغییرات مدول یانگ طولی کامپوزیت در برابر تغییر تعداد سلول‌های المان حجمی نماینده

همه سلول‌ها آلومینیم است در ابتدا 72.4 GPa است که با افزایش بارگذاری و پیشروی آسیب در کرنش طولی $\epsilon_z = 2\%$ این مقدار به 52.11 GPa کاهش می‌یابد. همان‌طور که در شکل 8 مشخص است شبکه کاهش مدول یانگ با پیشروی بارگذاری و افزایش کرنش طولی بیشتر می‌شود. این شبکه در قسمت الاستیک تقریباً ثابت است و رفته رفته و با افزایش آسیب، این شبکه، افزایش می‌یابد.

شکل 8 روند کاهش مدول یانگ طولی کامپوزیت‌های کربن/آلومینیم و سیلیکون کارباید/تیتانیوم را در بارگذاری طولی نشان می‌دهد. با دقت در شکل 8 مشخص می‌گردد مدول یانگ طولی کامپوزیت کربن/آلومینیم در حالتی که درصد حجمی الیاف ۳۰٪ است قبل از شروع بارگذاری مقدار $E_1 = 147.15 \text{ GPa}$ آن $E_1 = 167.12 \text{ GPa}$ بوده که با افزایش آسیب به $\epsilon_z = 16.8\%$ کاهش می‌یابد. مدول یانگ طولی کامپوزیت سیلیکون کارباید/تیتانیوم در حالتی که درصد حجمی الیاف ۳۳٪ است قبل از شروع بارگذاری مقدار آن $E_1 = 209.92 \text{ GPa}$ بوده که با افزایش آسیب به $\epsilon_z = 20.7\%$ کاهش می‌یابد. مدول یانگ کامپوزیت سیلیکون کارباید/تیتانیوم در $E_1 = 157.65 \text{ GPa}$ است. در این حالت نیز مانند حالتی که تمام سلول‌ها آلومینیم هستند شبکه تغییرات مدول یانگ ابتدا تقریباً ثابت بوده و با افزایش آسیب در المان نماینده، شبکه تغییرات افزایش می‌یابد. از تغییر روند مدول یانگ در آلومینیم و کامپوزیت کربن/آلومینیم می‌توان نتیجه گرفت هر چه بارگذاری و رشد آسیب افزایش یابد روند کاهش مدول یانگ سریعتر می‌شود.

در ادامه به روند تغییر متغیرهای آسیب در دو حالت ایزوتروپ و غیرایزوتروپ برای کامپوزیت کربن/آلومینیم پرداخته می‌شود. شکل 9 روند رشد متغیر آسیب را در حالتی که آسیب روی زمینه کامپوزیت کربن/آلومینیم و به صورت ایزوتروپ بوده را نمایش می‌دهد. با دقت در شکل 9 نتیجه‌گیری می‌شود که روند رشد متغیر آسیب در کرنش طولی $\epsilon_z = 0.44\%$ شروع می‌شود و در کرنش طولی $\epsilon_z = 2\%$ مقدار $D = 0.2536$ می‌رسد. روند افزایش متغیر آسیب برای بارگذاری طولی تقریباً یکنواخت می‌باشد و نتایج با مدل سلولی نیز مقایسه شده است.



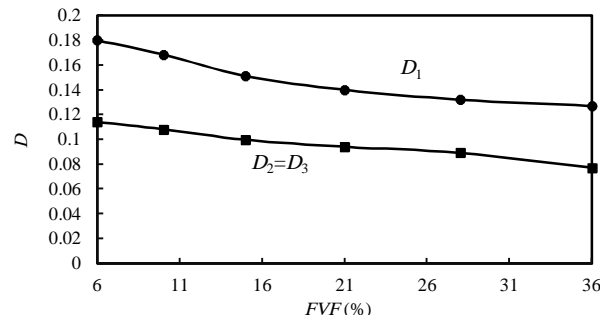
شکل 8 تغییرات مدول یانگ طولی کربن/آلومینیم و سیلیکون کارباید/تیتانیوم

برحسب کرنش طولی در بارگذاری طولی

کامپوزیت کربن/آلومینیم را تحت بارگذاری طولی نشان می‌دهد. همان‌طور که در شکل 5 مشخص است نمودار تنش-کرنش کامپوزیت کربن/آلومینیم برای هر دو آسیب ایزوتروپ و غیرایزوتروپ بهم منطبق است. برای سیلیکون کارباید/تیتانیوم نتایج به دست آمده از مدل حاضر در مقاله با نتایج آزمایشگاهی در [37] مقایسه شده است.

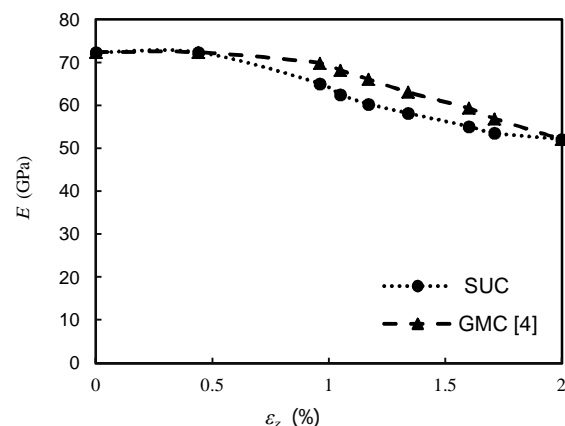
در ادامه تأثیر درصد حجمی الیاف در روند رشد آسیب کامپوزیت کربن/آلومینیم بررسی می‌شود. بدین منظور در یک بارگذاری خاص درصد حجمی الیاف تغییر داده شده و تغییرات آسیب بررسی می‌شود. شکل 6 درصد حجمی کربن (الیاف) بر حسب آسیب را در بارگذاری طولی $S_c = 1000 \text{ MPa}$ نشان می‌دهد. با دقت در شکل 6 نتیجه‌گیری می‌شود که افزایش درصد حجمی الیاف باعث کاهش متغیر آسیب در هر دو جهت الیاف و عمود بر الیاف می‌شود. برای درصد حجمی الیاف ۳۶٪ به $D_1 = 0.1271$ و $D_2 = D_3 = 0.0771$ می‌رسند. بنابراین افزایش درصد حجمی الیاف تأثیر قابل توجهی در روند تغییرات متغیرهای آسیب در جهات الیاف و عمود بر الیاف دارد.

یکی دیگر از اثرات رشد آسیب کاهش مدول یانگ ماده می‌باشد. همان‌طور که شکل 7 نشان می‌دهد با افزایش بارگذاری طولی و رشد کرنش طولی مدول یانگ آلومینیم کاهش می‌یابد. مدول یانگ المان نماینده در حالتی که



شکل 6 تغییرات متغیر آسیب کامپوزیت کربن/آلومینیم بر حسب تغییرات درصد حجمی الیاف

شکل 7 تغییرات مدول یانگ آلومینیم برحسب کرنش در بارگذاری تک‌جهت



شکل 7 تغییرات مدول یانگ آلومینیم برحسب کرنش در بارگذاری تک‌جهت

همانطور که مشخص است پیشروی آسیب در جهات عمود بر الیاف کمتر از پیشروی آن در راستای الیاف است.

همانطور که شکل 11 نشان می‌دهد روند تغییرات آسیب در جهات عمود بر الیاف نیز بدین صورت است که ابتدا این مقدار صفر بوده و در کرنش $\epsilon_z = 0.44\%$ شروع به رشد می‌کند. این مقدار در کرنش $\epsilon_z = 2\%$ به مقدار $D_3 = D_2 = 0.1505$ می‌رسد.

برای فهم و مقایسه‌ی بهتر، تغییرات متغیر آسیب در جهات الیاف و عمود بر الیاف روی یک نمودار رسم شده و با یکدیگر مقایسه می‌شوند. شکل 12 روند تغییرات متغیر آسیب کامپوزیت کربن/آلومینیم در جهات الیاف و عمود بر الیاف برای بارگذاری طولی و توزیع مربعی الیاف با درصد حجمی 30% را نشان می‌دهد. با دقت در شکل 12 نتیجه‌گیری می‌شود در بارگذاری طولی پیشروی آسیب در جهت الیاف بیشتر از پیشروی آن در جهت عمود بر الیاف است. بدین صورت که در کرنش $\epsilon_z = 2\%$ مقدار آسیب در جهت الیاف $D_1 = 0.261$ و در جهات عمود بر الیاف $D_2 = 0.150$ است.

در انتها به بررسی بارگذاری عرضی روی کامپوزیت کربن/آلومینیم با درصد حجمی الیاف 30% و کامپوزیت سیلیکون کارباید/تیتانیوم با درصد حجمی الیاف 33% پرداخته می‌شود. بدین منظور المان نماینده‌ی حجمی تحت بار عرضی قرار داده می‌شود و نمودار تنش-کرنش برای آن در حالت

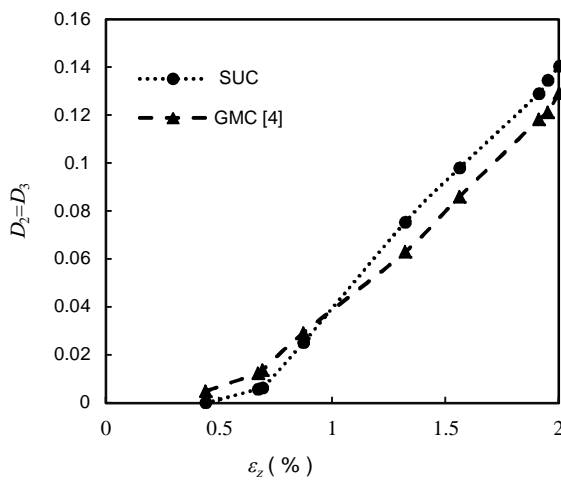
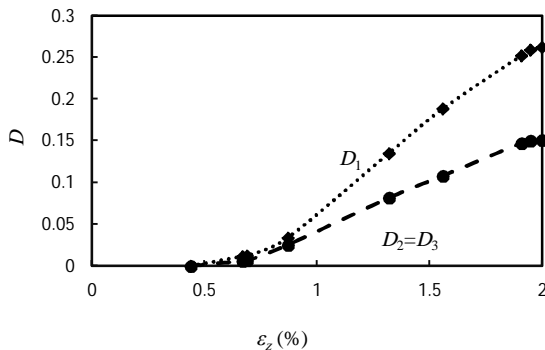
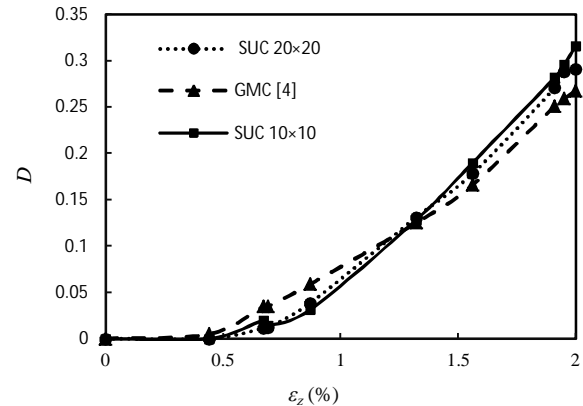


Fig. 11 Variations of damage variable versus axial strain in transverse direction under axial loading

شکل 11 تغییرات متغیر آسیب بر حسب کرنش طولی در جهات عمود بر الیاف برای بارگذاری طولی



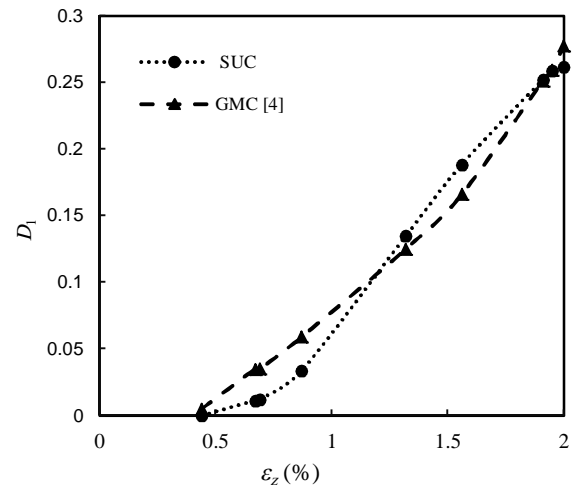
شکل 12 تغییرات متغیر آسیب بر حسب کرنش طولی در جهات الیاف و عمود بر الیاف برای بارگذاری طولی



شکل 9 تغییرات متغیر آسیب بر حسب کرنش طولی در حالت آسیب ایزوتrop برای بارگذاری طولی

در اینجا به بررسی آسیب غیرایزوتrop روی زمینه‌ی کامپوزیت کربن/آلومینیم پرداخته می‌شود. بدین منظور روند رشد آسیب در جهات الیاف و عمود بر الیاف مورد بررسی قرار می‌گیرد. شکل 10 روند تغییرات متغیر آسیب در جهت الیاف برای بارگذاری طولی و آرایش مربعی الیاف روی زمینه با درصد حجمی 30% را نمایش می‌دهد. کربن به کار رفته در الیاف کامپوزیت دارای خواص ایزوتrop عرضی است. با دقت در شکل 10 نتیجه‌گیری می‌شود مقدار متغیر آسیب در جهت الیاف ابتدا صفر بوده و با افزایش بارگذاری و افزایش کرنش این مقدار در کرنش $\epsilon_z = 0.44\%$ شروع به رشد کرده و در انتهای نمودار در کرنش $\epsilon_z = 2\%$ به مقدار $D_1 = 0.261$ می‌رسد. با دقت در شکل‌های 10 و 11 مشاهده می‌شود که نتایج برای آسیب ایزوتrop و آسیب در جهت الیاف یکسان است.

شکل 11 روند تغییرات آسیب در جهات عمود بر الیاف کامپوزیت کربن/آلومینیم را نشان می‌دهد. همانطور که شکل 11 نشان می‌دهد روند تغییرات آسیب در هر دو جهت ایالیاف به صورت یکسان است.



شکل 10 تغییرات متغیر آسیب بر حسب کرنش طولی در جهت الیاف برای بارگذاری طولی

[DOR: 20.1001.1.10275940.1395.16.8.30.7]

مهدی مکانیک مدرس، آبان 1395، دوره 16، شماره 8

در ابتدا و قبل از شروع بارگذاری برابر $E_2 = 37.55 \text{ GPa}$ بود، $E_2 = 24.69 \text{ GPa}$ با افزایش بارگذاری و کرنش عرضی و پیشرفت آسیب به ۵ کاهش می‌یابد. همچنین مدول یانگ عرضی کامپوزیت $E_2 = 154.33 \text{ GPa}$ کارباید/تیتانیوم در ابتدا و قبل از شروع بارگذاری برابر $E_2 = 127.69 \text{ GPa}$ کاهش می‌یابد. مقدار آزمایش داده یانگ عرضی کامپوزیت سیلیکون کارباید/تیتانیوم برابر $E_2 = 143 \text{ GPa}$ است. بنابراین می‌توان نتیجه گرفت در بارگذاری عرضی فارغ از جهت بارگذاری مدول یانگ در راستای بارگذاری کاهش می‌یابد.

همچنین تغییرات متغیر آسیب کامپوزیت کربن/آلومینیم تحت بارگذاری عرضی نسبت به کرنش عرضی روی شکل ۱۵ نمایش داده شده است. همانطور که در شکل مشخص است د، این حالت رشد آسیب در جهات عمود ایزوتروپ $\varepsilon_x = 2\%$ در جهت الیا $\varepsilon_x = 1\%$ و در جهات عمود بر الیاف در همان مقدار کرنش برابر $D_3 = D_2 = 0.150$ است. بنابراین می‌توان نتیجه گرفت در بارگذاری عرضی رشد آسیب در جهت بارگذاری بیشتر از جهت عمود بر آن است.

همانطور که در شکل ۱۵ مشخص است در بارگذاری عرضی متغیر آسیب در حالتی که آسیب به صورت ایزوتروپیک فرض می‌شود، بر D_2 منطبق است. در حالیکه در بارگذاری طولی تک جهته آسیب ایزوتروپیک بر D_1 منطبق است. بنابراین می‌توان نتیجه گرفت در بارگذاری تک جهته آسیب ایزوتروپیک بر آسیب غیرایزوتروپیکی که هم جهت با بارگذاری است، منطبق است. با مقایسه شکل‌های ۱۲، ۱۳ و ۱۵ مشخص می‌شود رشد آسیب در جهت بارگذاری برای بارگذاری عرضی بیشتر از بارگذاری طولی است و همچنین این رشد آسیب در تنش‌های اعمالی کمتری اتفاق می‌افتد.

۷- جمع‌بندی

در این مقاله یک المان حجمی نماینده از جنس کامپوزیت کربن/آلومینیم با درصد حجمی ۳۰% که دو فازی است تحت بارگذاری طولی و عرضی قرار گرفته و به روند رشد آسیب روی زمینه (آلومینیم) همزمان با افزایش بارگذاری و افزایش کرنش پرداخته می‌شود. زمینه کامپوزیت، آلومینیم با خواص ایزوتروپ و الاستوپلاستیک و الیاف آن کربن با خواص ایزوتروپ عرضی و الاستیک است. توزیع الیاف روی زمینه به صورت آرایش مربعی است. ابتدا به بحث حساسیت مشینی پرداخته شده و مشاهده شد که با تقسیم‌بندی المان حجمی نماینده به 20×20 نتایج قبل اعتماد هستند.

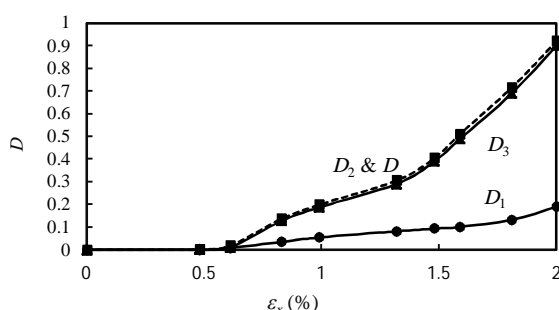


Fig. 15 Variations of the composite damage variables versus transverse strain in longitudinal and transverse direction under transverse loading

شکل ۱۵ تغییرات متغیر آسیب کامپوزیت بر حسب کرنش عرضی در جهات الیاف و عمود بر الیاف برای بارگذاری عرضی

بدون آسیب و همچنین حضور آسیب‌های ایزوتروپیک و غیرایزوتروپیک رسم شده و نتایج با مدل سلولی برای کامپوزیت کربن/آلومینیم مقایسه می‌شوند. شکل ۱۳ نمودار تنش-کرنش کامپوزیت کربن/آلومینیم با درصد حجمی الیاف ۳۰% را در بارگذاری عرضی نشان می‌دهد. همانطور که مشخص است در بارگذاری عرضی نیز هنگامی که آسیب ایزوتروپیک یا غیرایزوتروپیک در نظر گرفته می‌شود، تنش‌ها کاهش می‌یابند. به طور مثال در کرنش $\sigma_x = 2\%$ در حالت عدم وجود آسیب مقدار تنش عرضی برابر $\sigma_x = 390 \text{ MPa}$ است، در حالیکه در حضور آسیب این مقدار تا ۲۷۵ کاهش می‌یابد. همچنین همانطور که در شکل ۱۳ مشخص است آسیب ایزوتروپ و غیرایزوتروپ روی نمودار تنش-کرنش تاثیر مشابهی دارند. همچنین در شکل ۱۴ مشاهده می‌شود هنگام بارگذاری عرضی نیز مدول یانگ کامپوزیت کاهش می‌یابد. مدول یانگ عرضی کامپوزیت کربن/آلومینیم

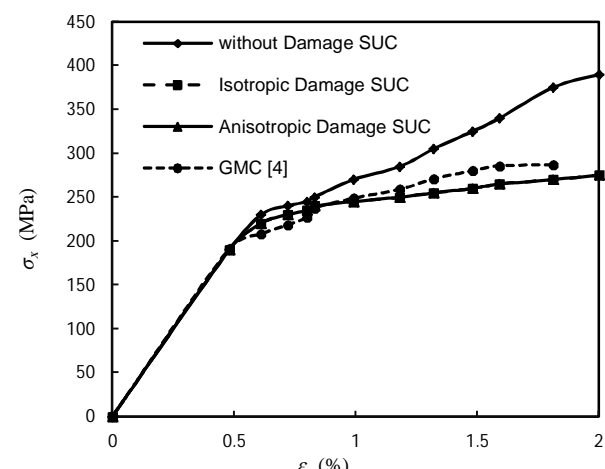


Fig. 13 Carbon/aluminum composite stress-strain diagram under transverse loading with isotropic and anisotropic damage and also without damage

شکل ۱۳ نمودار تنش-کرنش کامپوزیت کربن/آلومینیم تحت بار عرضی در حالت آسیب ایزوتروپ و غیرایزوتروپ و همچنین در نبود آسیب

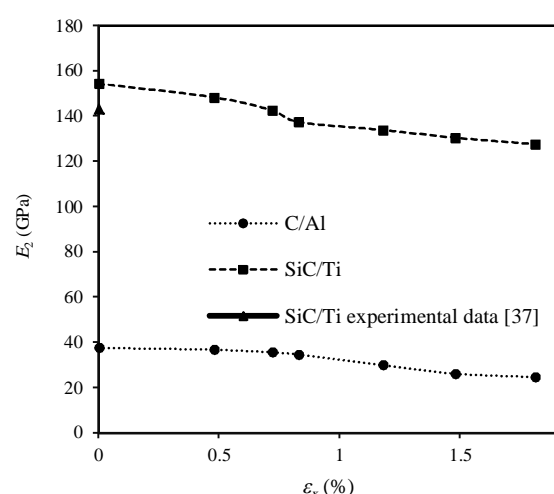


Fig. 14 Variations of transverse Young's moduli of carbon/aluminum and silicon carbide/titanium versus transverse strain under transverse loading

شکل ۱۴ تغییرات مدول یانگ عرضی کربن/آلومینیم و سیلیکون کارباید/تیتانیوم بر حسب کرنش عرضی در بارگذاری عرضی

- [11] G. Z. Voyatzis, T. Park, Local and interfacial damage analysis of metal matrix composites, *International Journal of Engineering Science*, Vol. 33 No. 11, pp. 1595-1621, 1995.
- [12] G. Z. Voyatzis, P. I. Kattan, Damage of fiber-reinforced composite materials with micromechanical characterization, *International Journal Solids Structures*, Vol. 30, No. 20, pp. 2757-2778, 1993.
- [13] G. Z. Voyatzis, Z. Guelzim, A coupled incremental damage and plasticity theory for metal matrix composites, *Journal of the Mechanical Behavior of Materials*, Vol. 6, No. 3, PP. 193-220, 1996.
- [14] G.Z. Voyatzis, B. Deliktas, A coupled anisotropic damage model for the inelastic response of composite materials, *Computer Methods in Applied Mechanics and Engineering*, Vol. 183, No. 3-4, pp 159-199. 2000.
- [15] G. Z. Voyatzis, B. Deliktas, A cyclic anisotropic plasticity model for metal-matrix composites, *International Journal of plasticity*, Vol. 12, No. 1 pp. 69-91, 1996.
- [16] G. Z. Voyatzis, P. I. Kattan, *Damage mechanics*, pp.3.113- 3.129, Boca Raton, FL: Taylor and Francis (CRC Press), 2005.
- [17] R. Haj-Ali, J. Aboudi, Formulation of the high-fidelity generalized method of cells with arbitrary cell geometry for refined micromechanics and damage in composites, *International Journal of Solids and Structures*, Vol. 47, No. 25-26, pp. 3447-3461, 2010.
- [18] P. J. Hine, H. R. Lusti, A. A. Gusev, Numerical simulation of the effects of volume fraction, aspect ratio and fibre length distribution on the elastic and thermoelastic properties of short fibre composites, *Composites Science and Technology*, Vol. 62, No. 10, pp. 1445-1453, 2002.
- [19] M. Bayat, M. M. Aghdam, A Micromechanics-based analysis of effects of square and hexagonal fiber Arrays in fibrous composites using DQEM", *European Journal of Mechanics - A/Solids*, Vol. 32, No. 10, pp. 32-40, 2012.
- [20] R. Hil, A self-consistent mechanics of composite materials, *Journal of the Mechanics and Physics of Solids*, Vol. 13, No. 4, pp. 213-222. 1965.
- [21] Z. Hashin,, B. W. Rosen, The elastic moduli of fiber-reinforced materials, *Journal of Applied Mechanics*, Vol. 31, No. 2, pp. 223-232, 1964.
- [22] M. Uemura, H. Iyama, Y. Yamaguchi, Thermal residual stresses in filamentwound carbon-fiber-reinforced composites, *Journal of Thermal Stresses*, Vol. 2, No. 3-4, pp. 393-412. 1979.
- [23] J. Aboudi., Closed form constitutive equations for metal matrix composites, *International Journal of Engineering Science*, Vol. 25, No. 9, pp. 1229-1240, 1987.
- [24] J. Aboudi, Micromechanical analysis of composites by the method of cells, *Applied Mechanics Reviews*, Vol. 42, No. 7, pp. 193-221, 1989.
- [25] R. Haj-Ali, J. Aboudi, Nonlinear micromechanical formulation of the high fidelity generalized method of cells, *International Journal of Solids and Structures*, Vol. 46, No. 13, pp. 2577-2592, 2009.
- [26] B. A. Bednarczyk, S. M. Arnold, Transverse tensile and creep modeling of continuously reinforced titanium composites with local debonding, *International Journal of Solids and Structures*, Vol. 39, No. 7, pp. 1987-2017, 2002.
- [27] M. M. Aghdam, D. J. Smith, M. J. Pavier, Finite element micromechanical modelling of yield and collapse behaviour of metal matrix composites, *Journal of the Mechanics and Physics of Solids*, Vol. 48, No. 3, pp. 499-528, 2000.
- [28] M. K. Hassanzadeh Aghdam, M. J. Mahmoodi, Micromechanical damage analysis of short fiber titanium matrix composites under combined axial loading, *Modares Mechanical Engineering*, Vol. 13, No. 4, pp. 86-97, 2013 (in Persian).
- [29] M. J. Mahmoodi, M. M. Aghdam M. Shakeri, Micromechanical modeling of interface damage of metal matrix composites subjected to off-axis loading, *Materials and Design*, Vol. 31, No. 2, pp. 829-836, 2010.
- [30] M. J. Mahmoodi, M. M. Aghdam, Damage analysis of fiber reinforced titanium subjected to multi-axial loading—a Micromechanical Approach, *Materials Science and Engineering A*, Vol. 528, No. 27, pp. 7983-7990, 2011.
- [31] R. Ansari, M. M. Hassanzadeh Aghdam, Effects of regular and random distribution of silica nanoparticles on the thermo-elastic and viscoelastic properties of polymer nanocomposites- micromechanics-based analysis, *Modares Mechanical Engineering*, Vol. 15, No. 1, pp. 99-107, 2015. (in Persian).
- [32] R. Ansari, M. M. Hassanzadeh Aghdam, Micromechanics-based viscoelastic analysis of carbon nanotube-reinforced composites subjected to uniaxial and biaxial loading, *Composites Part B: Engineering*, Vol. 90, No. 1, pp. 512-522, 2016.
- [33] M. K. Hassanzadeh Aghdam, M. J. Mahmoodi, The interphase effects on the properties of composites with fiber random distribution under off-axis loading, *Modares Mechanical Engineering*, Vol. 15, No. 5, pp. 217-226, 2015. (in Persian).
- [34] M. M. Aghdam, A. Dehestan, Micromechanics based analysis of randomly distributed fiber reinforced composites using simplified unit cell model, *Composite Structures*, Vol. 71, No. 3-4, pp. 327-332, 2005.
- [35] A. Mendelson, *Plasticity: theory and application*, pp. 9.164-9.171 Macmillan Krieger, Malabar, New York, 1968.
- [36] R. M. Jones, *Mechanics of composite materials*, second edition, pp. 2.55-2.74, Taylor & Francis, Blacksburg, Virginia 1999.
- [37] M. P. Thomas, *Tensile properties of Ti-6-4/SM 1240 titanium metal matrix composite with off-axis fiber*. SMC Technical report No. DERA/SMC/SM2/TR 970145, defense evaluation and research agency, Farnborough, UK; 1997.

همچنین برای درستنمایی مدل، روند کاهش مدول یانگ آلومینیم و روند رشد آسیب با روش سلولی مورد مقایسه قرار گرفته است. برای مقایسه نتایج با نتایج آزمایشگاهی کامپوزیت سیلیکون کارباید/تیتانیوم با درصد حجمی 33% مورد توجه قرار گرفت. سپس به بررسی روند رشد آسیب به صورت ایزوتrop روی زمینه (آلومینیم) و نحوه رشد و تغییرات آن پرداخته شد. در ادامه به آسیب غیرایزوتrop روی زمینه کامپوزیت کربن/آلومینیم و نحوه پیشروی آن در جهت الیاف و عمود بر الیاف پرداخته شد. نتایج مهم به دست آمده از این مقاله در چند بند مطابق زیر خلاصه می‌شود:

- با در نظر گیری آسیب ایزوتrop و غیرایزوتrop در نمودار تنش-کرنش مقدار تنش لازم جهت افزایش کرنش کاهش قابل توجهی دارد. این نکته بدان معنی است که سطح زیر نمودار تنش-کرنش هنگام وجود آسیب کاهش یافته است و در واقع انرژی کرنشی که معرف سطح زیر نمودار تنش کرنش است هنگام وجود آسیب کاهش می‌یابد. همچنین نتایج ثابت کردند هر دو نوع آسیب ایزوتrop و غیرایزوتrop تاثیر یکسانی روی نمودار تنش-کرنش آلومینیم و کامپوزیت کربن/آلومینیم دارند.
- با افزایش بارگذاری مدول یانگ آلومینیم کاهش می‌یابد. همچنین با افزایش بارگذاری طولی و عرضی مدول یانگ کامپوزیت کربن/آلومینیم و سیلیکون کارباید/تیتانیوم در جهت بارگذاری، شروع به کاهش می‌کند.
- برای بارگذاری طولی، رشد آسیب در جهت الیاف سریعتر از رشد آن در جهت عمود بر الیاف است. در حالیکه برای بارگذاری عرضی رشد آسیب در جهات عمود بر الیاف، بیشتر از رشد آن در جهت الیاف است.
- به طور کلی نتیجه‌گیری می‌شود که رشد متغیرهای آسیب در بارگذاری عرضی سریع‌تر از رشد آن در بارگذاری طولی است. همچنین متغیر آسیب ایزوتropیک در هر نوع بارگذاری، منطبق بر متغیر آسیب غیرایزوتropیک است که در جهت بارگذاری است.

8- مراجع

- [1] S. Moghboli, M. J. Mahmoodi, An efficient micromechanics based algorithm to predict the response of metal matrix composites activated shape memory alloy fiber, *Modares Mechanical Engineering*, Vol. 15, No. 10, pp. 67-77, 2015. (in Persian).
- [2] M. J. Mahmoodi, M. M. Aghdam M. Shakeri, The effects of interfacial debonding on the elastoplastic response of unidirectional silicon carbide-titanium composites, *Journal of Mechanical Engineering Science*, Vol. 224, No. 2, pp. 259-269, 2010.
- [3] A. Farrokhabadi, H. Hosseini-Toudeshky, B.Mohammadi, Damage analysis of laminated composites using a new coupled micro-meso approach, *Procedia Engineering*, Vol. 33, No. 7, pp. 420-443, 2010.
- [4] J. Aboudi, The effect of anisotropic damage evolution on the behavior of ductile and brittle matrix composites, *International Journal of Solids and Structures*, Vol. 48, No. 14-15, pp. 2102-2119, 2011.
- [5] J. Lemaitre, R. Desmorat, *Engineering damage mechanics, ductile, creep, fatigue and brittle failures*, pp. 1.5-1.22, Springer, Berlin. 2005.
- [6] P. I. Kattan, G. Z. Voyatzis, A Plasticity-Damage Theory for Large Deformation of Solids-II. Applications to Finite Simple Shear, *International Journal of Engineering Science*, Vol. 31, No. 1, pp. 183-199, 1993.
- [7] D. H. Allen, C. E. Harris, S. E. Groves, A thermomechanical constitutive theory for elastic composites with distributed damage-1.: theoretical formulation, *International Journal of Solids and Structures*, Vol. 23, No. 9, pp. 1301-1318, 1987.
- [8] D. H. Allen, C. E. Harris, S. E. Groves, R. G. Novel, Characteristics of stiffness loss in cross-ply laminates with curved matrix cracks, *Journal of Composite Materials*, Vol. 22, No. 1, pp. 71-80, 1988.
- [9] J. L. Chaboche, Continuum damage mechanics: Present state and future trends, *Nuclear Engineering and Design*, Vol. 105, No. 1, pp. 199-233, 1987.
- [10] T. R. K. Abu Al-Rub, G. Z. Voyatzis, On the coupling of anisotropic damage and plasticity models for ductile materials, *International Journal of Solids and Structures*, Vol. 40, No. 11, pp. 2611-2643, 2003.

- of particulate composites with imperfect interfacial bonds, *International Journal of Solids and Structures*, Vol. 42, No. 14, pp. 4179–4191, 2005.
- [40] T. W. Clyne, p. j. Withers, *An introduction to metal matrix composites*, pp. 1.1-1.7, Cambridge University Press, 1993.
- [38] M. K. Hassanzadeh Aghdam, M. J. Mahmoodi, R. Ansari, Interphase effects on the thermomechanical properties of three-phase composites, *Journal of Mechanical Engineering Science*, Vol. 1, No. 1, pp. 1-11, 2015.
- [39] S. Nie, C. Basaran, A micromechanical model for effective elastic properties